

<b>Zeitschrift:</b>	Archives des sciences [1948-1980]
<b>Herausgeber:</b>	Société de Physique et d'Histoire Naturelle de Genève
<b>Band:</b>	10 (1957)
<b>Heft:</b>	6: Colloque Ampère
<b>Artikel:</b>	Étude de la résonance ferromagnétique de monocristaux de fer à 9.500 Megahertz
<b>Autor:</b>	Strub, A.
<b>DOI:</b>	<a href="https://doi.org/10.5169/seals-738765">https://doi.org/10.5169/seals-738765</a>

### **Nutzungsbedingungen**

Die ETH-Bibliothek ist die Anbieterin der digitalisierten Zeitschriften auf E-Periodica. Sie besitzt keine Urheberrechte an den Zeitschriften und ist nicht verantwortlich für deren Inhalte. Die Rechte liegen in der Regel bei den Herausgebern beziehungsweise den externen Rechteinhabern. Das Veröffentlichen von Bildern in Print- und Online-Publikationen sowie auf Social Media-Kanälen oder Webseiten ist nur mit vorheriger Genehmigung der Rechteinhaber erlaubt. [Mehr erfahren](#)

### **Conditions d'utilisation**

L'ETH Library est le fournisseur des revues numérisées. Elle ne détient aucun droit d'auteur sur les revues et n'est pas responsable de leur contenu. En règle générale, les droits sont détenus par les éditeurs ou les détenteurs de droits externes. La reproduction d'images dans des publications imprimées ou en ligne ainsi que sur des canaux de médias sociaux ou des sites web n'est autorisée qu'avec l'accord préalable des détenteurs des droits. [En savoir plus](#)

### **Terms of use**

The ETH Library is the provider of the digitised journals. It does not own any copyrights to the journals and is not responsible for their content. The rights usually lie with the publishers or the external rights holders. Publishing images in print and online publications, as well as on social media channels or websites, is only permitted with the prior consent of the rights holders. [Find out more](#)

**Download PDF:** 21.02.2026

**ETH-Bibliothek Zürich, E-Periodica, <https://www.e-periodica.ch>**

# **Etude de la résonance ferromagnétique de monocristaux de fer à 9.500 Megahertz**

par A. STRUB

Laboratoire de Haute-Fréquence de la Faculté des Sciences de Grenoble.

---

## **INTRODUCTION.**

La première partie de cet exposé présente les caractéristiques essentielles d'un appareillage de mesures en hyperfréquence, pour la bande X, destiné à étudier diverses propriétés d'échantillons ferromagnétiques orientés, suivant l'orientation de leurs axes cristallins par rapport aux directions des champs magnétiques statique et UHF appliqués.

La deuxième partie indiquera quelques résultats préliminaires de mesures entreprises avec cet appareil, sur des monocristaux de ferro-silicium.

## **EXIGENCES.**

Les monocristaux et les autres échantillons étudiés possèdent des propriétés (perméabilité, constantes d'anisotropie, etc.) qui dépendent de leur orientation par rapport aux champs magnétiques  $H_{\perp}$  (statique) et  $h$  (UHF) appliqués. La polarisation du champ UHF étant fixée, il est donc nécessaire de pouvoir faire varier indépendamment:

- a)* la direction du champ magnétique statique  $H_{\perp}$ ;
- b)* la direction de l'axe de référence de l'échantillon;

alors que dans les mesures classiques de résonance ferromagnétique on se contente de choisir  $H_{\perp}$  perpendiculaire à  $h$ . Pour des raisons évidentes, l'échantillon est mis en place une fois pour toutes au début d'une série de mesures.

L'appareil en question doit enfin permettre des mesures en grande série dans un temps relativement court, sans être composé d'éléments compliqués ou trop onéreux.

## PRINCIPE DE MESURE.

Le principe de mesure, bien connu, est le suivant: l'échantillon, sous forme de tôle mince, de surface très bien polie, constitue le fond d'une cavité résonnante excitée par une onde électromagnétique UHF. Si l'on peut déterminer une « surtension interne »  $Q_0$  de référence pour cette cavité et les variations  $\Delta Q_0$  observées au cours des mesures, on pourra calculer les propriétés ferromagnétiques du matériau étudié (on peut également, si besoin est, mesurer les variations de la fréquence de résonance  $\Delta f_{res}$ ).

Notre montage est conçu de façon à permettre deux modes opératoires différents utilisant un té magique comme pont de mesure (voir fig. 1):

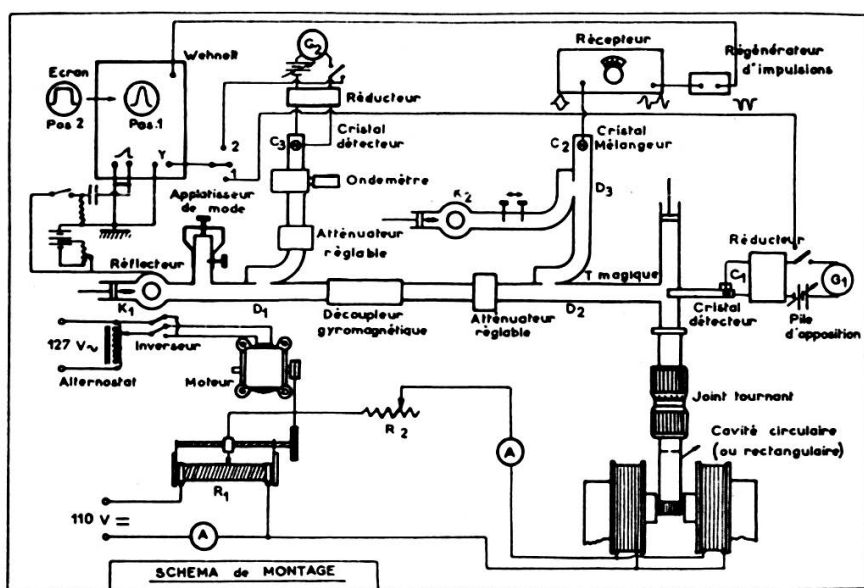


Fig. 1.

- Modulation en fréquence du générateur UHF (klystron  $K_1$ ) par application d'une tension en dents de scie au réflecteur. On peut ainsi faire apparaître, sur l'écran d'un oscilloscope, la courbe de résonance de la cavité de mesure [1] (avec possibilité d'étalonner en fréquence la base de temps de l'oscilloscope, également suivant [1]);
- Avec un générateur à fréquence fixe, par lecture du niveau du signal détecté (dans  $C_1$ ) sur un galvanomètre ( $G_1$ ). Cette dernière méthode, beaucoup plus sensible que la première, permet de déterminer le champ  $H_{res}$  de résonance ferromagnétique avec une grande précision. D'autre part, pour la mesure de petites variations  $\Delta Q_0$ , elle est indis-

pensable (le galvanomètre est équipé d'une pile d'opposition pour obtenir une sensibilité maximum).

#### INFLUENCE DE LA MODULATION D'AMPLITUDE.

Une façon très simple de réduire les variations de la puissance fournie par le klystron K<sub>1</sub> (2K25) en fonction de la fréquence, consiste à utiliser un « aplatisseur de mode ». Ceci a été réalisé dans notre montage grâce à une cavité rectangulaire auxiliaire *unique* en  $\lambda_g/2$ , à surtension réglable et à diaphragme de couplage mobile. Cette cavité, dont la fréquence de résonance est également réglable, est branchée en parallèle sur le guide principal et ainsi la courbe puissance/fréquence est « plate » sur une largeur quatre fois plus grande (80 MHz) que la largeur nécessaire pour nos mesures.

#### CAVITÉS DE MESURE.

Les cavités cylindriques présentent une grande sensibilité aux imperfections mécaniques et divers autres inconvénients. Cependant nous avons choisi, en raison des exigences énumérées au début de cet exposé, des cavités cylindriques résonnant sur le mode H<sub>114</sub>. Deux types différents de cavités ont été réalisés.

Le premier est construit avec du guide circulaire ordinaire, ajusté mécaniquement après soudure des différentes pièces avec des anneaux spéciaux. Pour ces réglages, il est très commode de se servir du klystron modulé en fréquence. On peut ainsi déceler très nettement toutes les déformations qui se traduisent par *deux* pics de résonance sur la courbe de sélectivité.

Le second est entièrement taillé dans une seule pièce de laiton et usiné avec la plus grande précision possible.

Pour contrôler certaines mesures dans ces cavités cylindriques et repérer, en particulier, toute erreur pouvant provenir d'un guide circulaire déformé, nous avons utilisé une cavité rectangulaire H<sub>104</sub>.

#### RÉSULTATS DE MESURES.

Voici, pour terminer, quelques résultats obtenus sur des monocristaux de fer contenant environ 4% de silicium.

Ces monocristaux (contenus dans des disques d'un diamètre minimum de 23 mm) ont été obtenus à partir de lames de tôle soumises à une contrainte mécanique en même temps qu'à un gradient de température, dans un four spécial. Leur surface était parfaitement polie (polissage par poudre abrasive très fine suivi d'un polissage électrolytique).

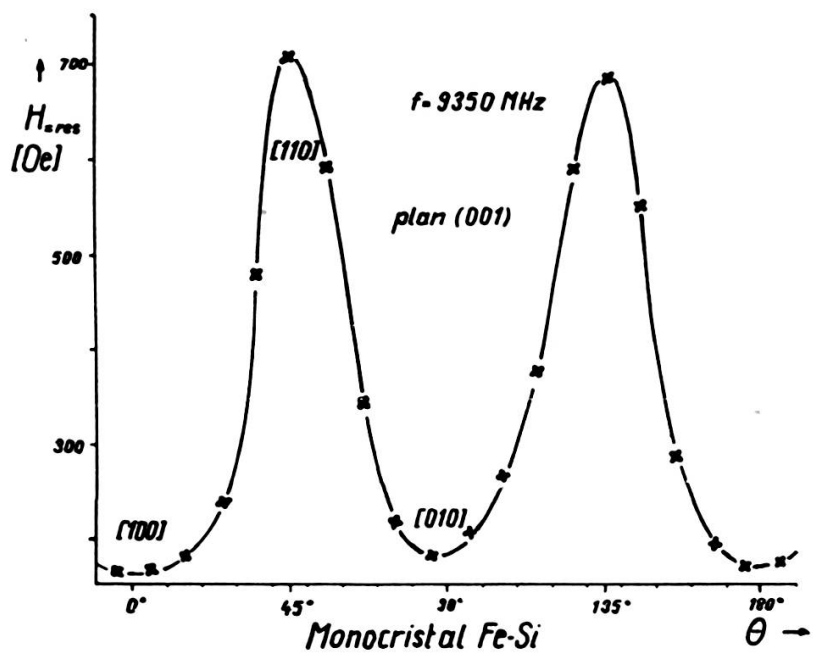


Fig. 2.

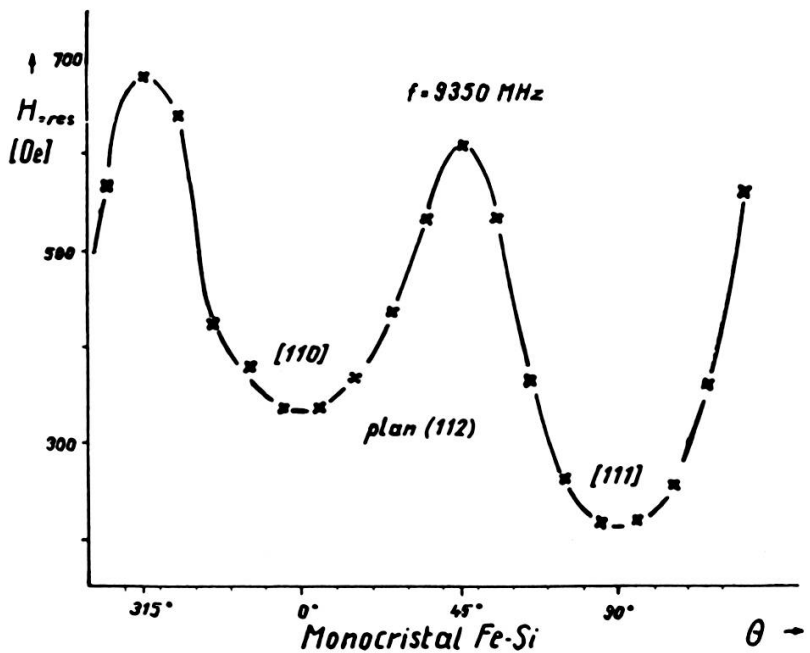


Fig. 3.

Dans cette première série de mesures, les champs  $H_{\perp}$  et  $h_{\text{UHF}}$  sont restés perpendiculaires l'un à l'autre et les résultats donnent la variation de  $H_{\text{res}}$  (produisant l'absorption maximum dans la cavité), en fonction de l'orientation de l'axe cristallin de référence. Ce dernier a été déterminé par

un examen radioscopique des échantillons au Laboratoire d'Electrostatique et de Physique du Métal de l'Institut Fourier, de Grenoble.

La courbe montrée sur la figure 2 est celle du cristal, dont le plan (001) se trouve dans la surface, alors que dans la figure 3 il s'agit d'un cristal contenant le plan (112) dans sa surface de mesure.  $\theta$  représente, dans les deux cas, l'angle entre  $H_{\perp}$  et l'axe (110).

L'interprétation de ces courbes sera basée sur la théorie de Kittel [2] pour la résonance ferromagnétique. Dans le cas d'un corps magnétique anisotrope, la fréquence de résonance est :

$$(2) \quad \omega = \gamma \cdot \sqrt{[H_{\perp} + (N_x + N_{ex} - N_z) M_s] \times [H_{\perp} + (N_y + N_{ey} - N_z) M_s]}$$

$$\gamma = \text{rapport gyromagnétique} = g \frac{e}{2m} \quad (g = \text{facteur de Landé}),$$

$N_x, N_y, N_z$  = facteurs de désaimantation, dépendant de la forme de l'échantillon [3],

$N_{ex}, N_{ey}$  = facteurs tenant compte de l'énergie d'anisotropie cristalline, en introduisant un champ magnétique fictif [2] et [4],

$M_s$  = aimantation de saturation de l'échantillon.

Cette formule n'est, en toute rigueur, valable que si le champ statique est suffisamment élevé pour aimanter l'échantillon à saturation ( $M_s$ ), ce qui n'est pas le cas avec les fréquences utilisées pour toutes les orientations. Mais on peut cependant déduire des résultats donnés, le facteur de Landé, les constantes d'anisotropie et en tirer d'autres conclusions intéressantes, en particulier si l'on cherche à expliquer les écarts entre les mesures et les valeurs calculées à partir de la théorie [5].

Cette exploitation théorique de nos résultats est en cours.

Je remercie M. le Professeur Jean Benoit, Directeur du Laboratoire de Haute-Fréquence de l'Institut Polytechnique de Grenoble, où je travaille, ainsi que M. Barbier, auquel je dois les échantillons, et M. Bertaut qui en a effectué, avec ses collaborateurs, MM. Durif et Forrat, l'examen radioscopique.

#### BIBLIOGRAPHIE

1. MONTGOMERY, *Technique of Microwave Measurements*, McGraw-Hill, New-York (1947), p. 396.
2. KITTEL, C., *Phys. Rev.*, 73, p. 155.
3. OSBORN, J. A., *Phys. Rev.*, 67, p. 351.
4. HEALY, D. W., *Phys. Rev.*, 86, p. 1009.
5. KIP, A. F. et F. D. ARNOLD, *Phys. Rev.*, 75, p. 1556.